

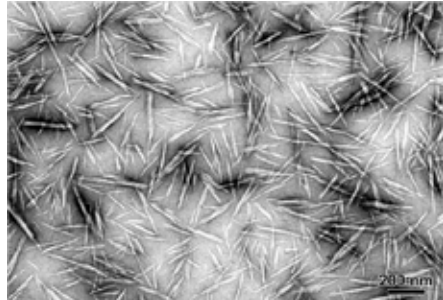
Stratégies de mise en œuvre de nanocomposites à base de nanocellulose

Alain Dufresne

Ecole Internationale du Papier, de la Communication Imprimée et des Biomatériaux (Pagora), Institut Polytechnique de Grenoble, France

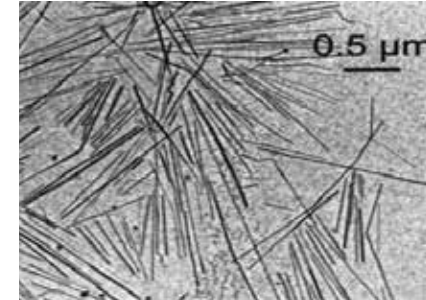
Colloque annuel du CRMR, Trois Rivières, 14 mai 2014

Hiérarchie de structure de la fibre cellulosique



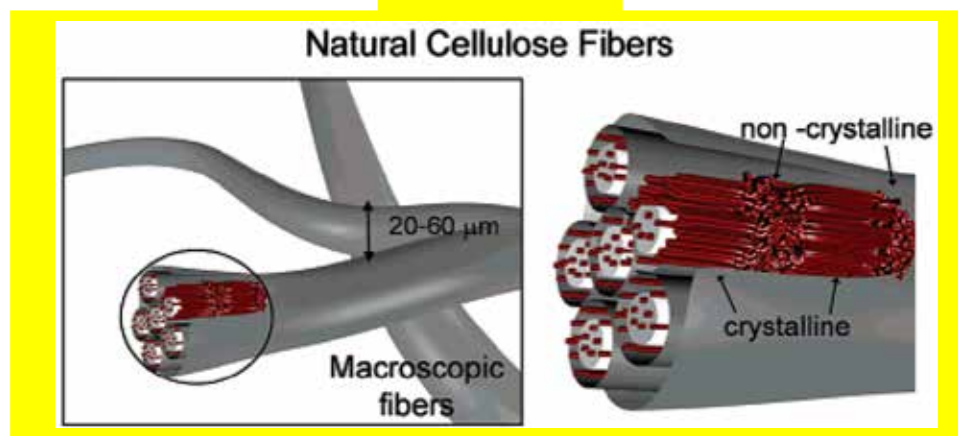
Habibi et al., 2008

Nanocristaux de cellulose (CNC)

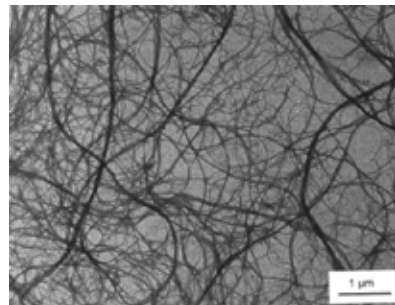


Anglès and Dufresne, 2000

Hydrolyse acide



Adapted from Pääkkö, et al. 2007



Dufresne et al., 1997

Nanofibrilles de cellulose (NFC)

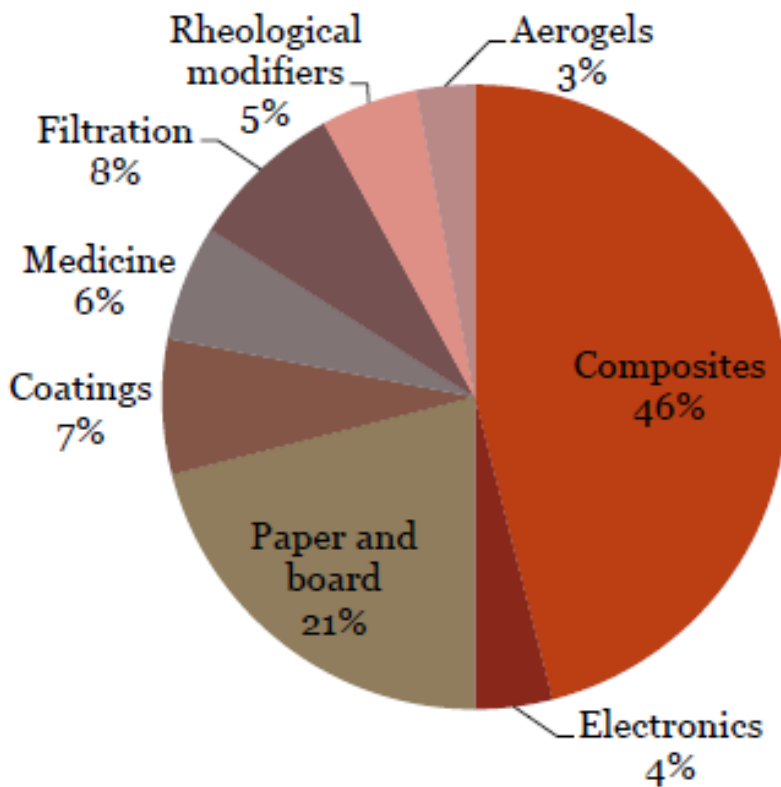


Malainine et al., 2003

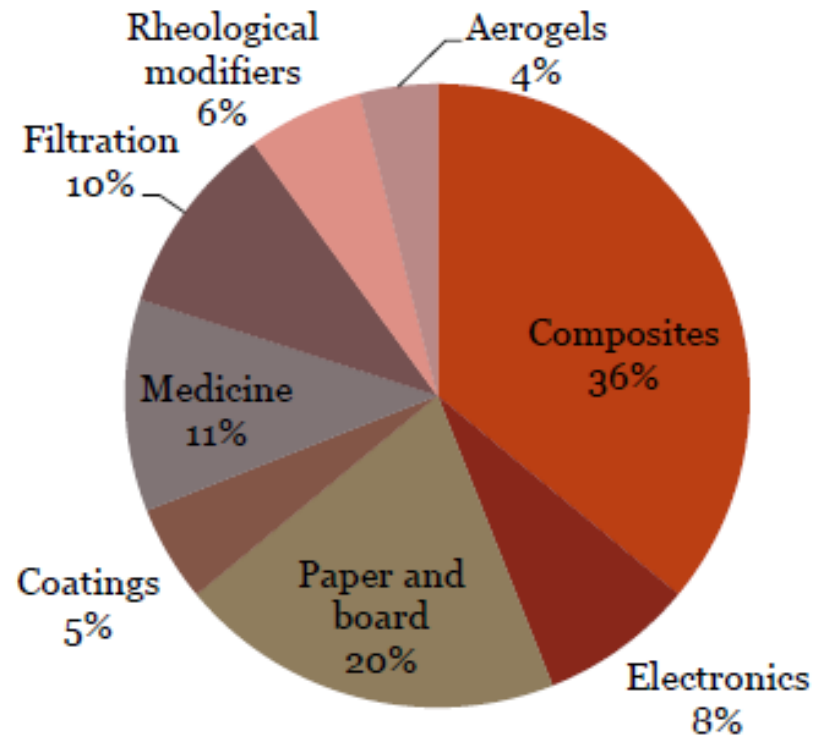
Cisaillement mécanique

Applications potentielles de la nanocellulose

2011



2017



Source: Nanocellulose market study, Future Markets Inc, 2012

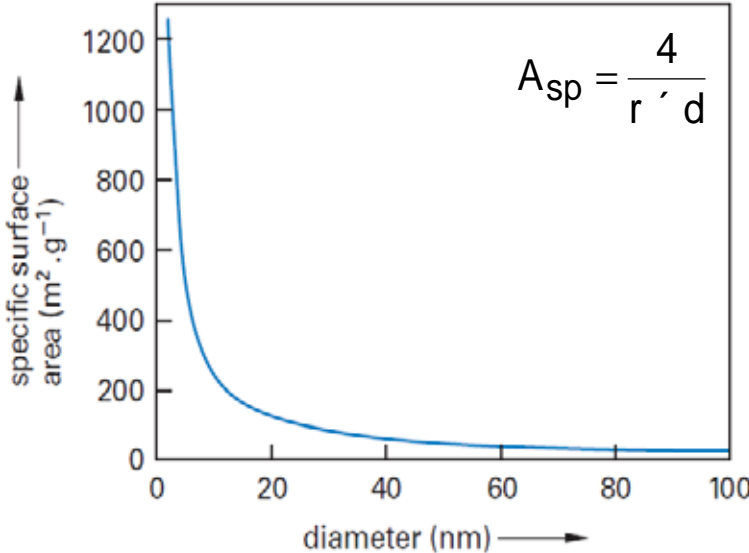
Nanoparticules vs. microparticules

Œ Augmentation de surface spécifique ($\sim 100 \text{ m}^2.\text{g}^{-1}$ vs. $\sim 1 \text{ m}^2.\text{g}^{-1}$)

- La distance moyenne inter-particules diminue lorsque leur taille diminue
→ interactions particule-particule

Ž Propriétés améliorées à faible taux en charge sans effet néfaste sur la résistance à l'impact et la déformation plastique

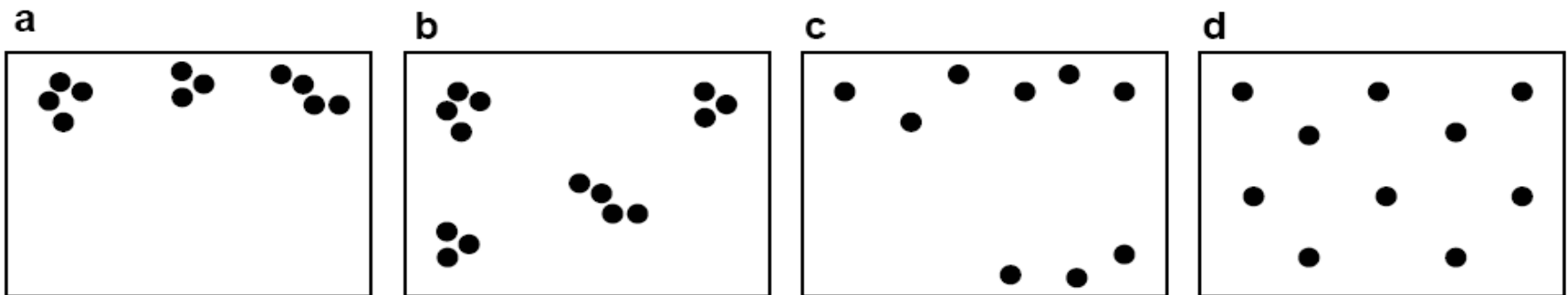
- Réduction de la diffusion des gaz (effet barrière)
- Comme ces nanofibrilles ne contiennent que peu de défauts, leur module est proche de celui issu de la chimie théorique et potentiellement supérieur à l'acier et similaire au Kevlar



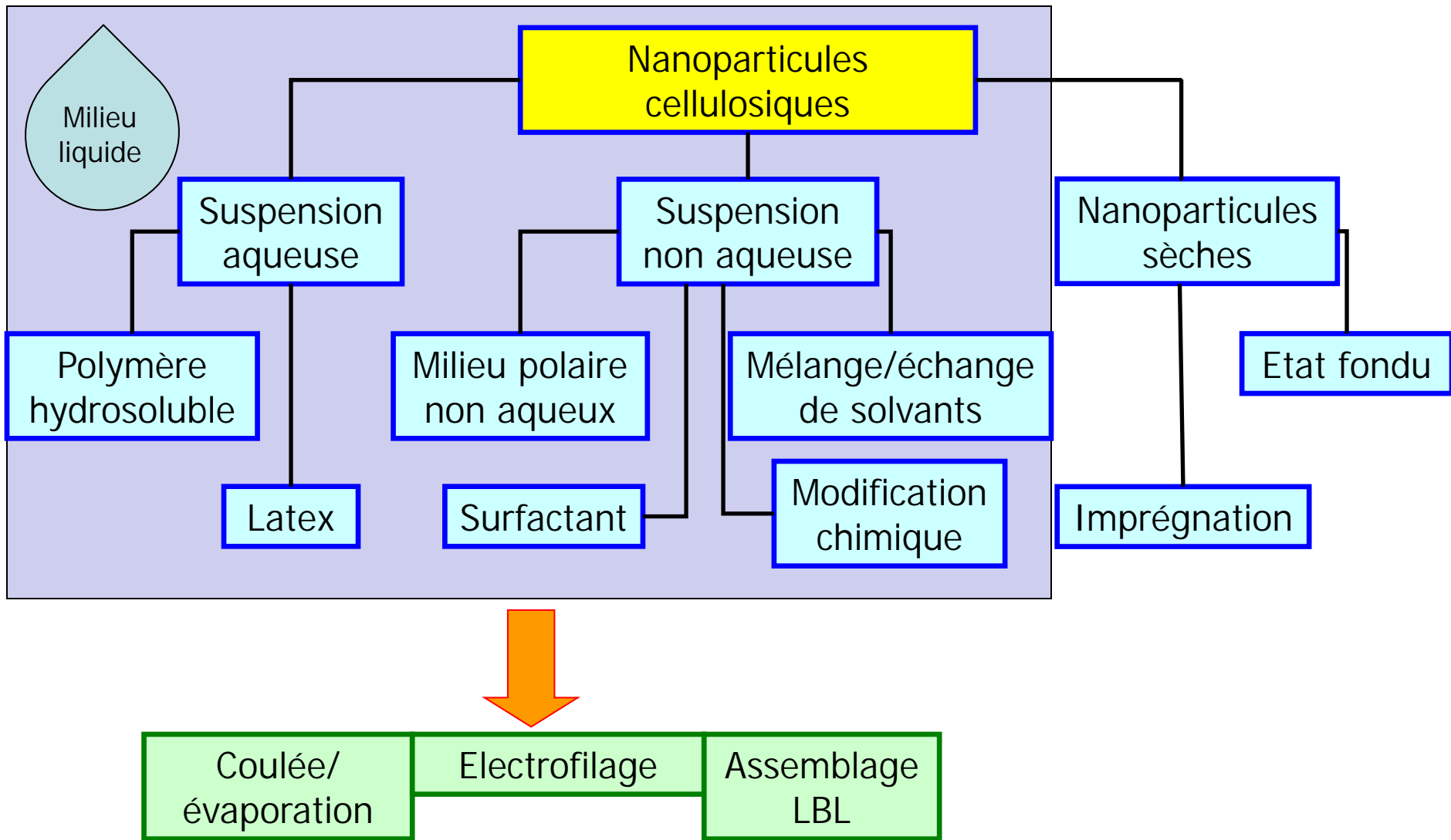
Material	Modulus (GPa)	Density (g.cm ⁻³)	Specific Modulus (J.g ⁻¹)
Glass	70	2.6	27
Kevlar	60-125	1.45	41-86
Steel	200-220	8	25
MFC	100	1.5-1.6	65
CNC	130	1.5-1.6	85

Concept de dispersion and distribution de nanoparticules :

- (a) Mauvaise dispersion et distribution,
- (b) Mauvaise dispersion et bonne distribution,
- (c) Bonne dispersion et mauvaise distribution,
- (d) Bonne dispersion et distribution.

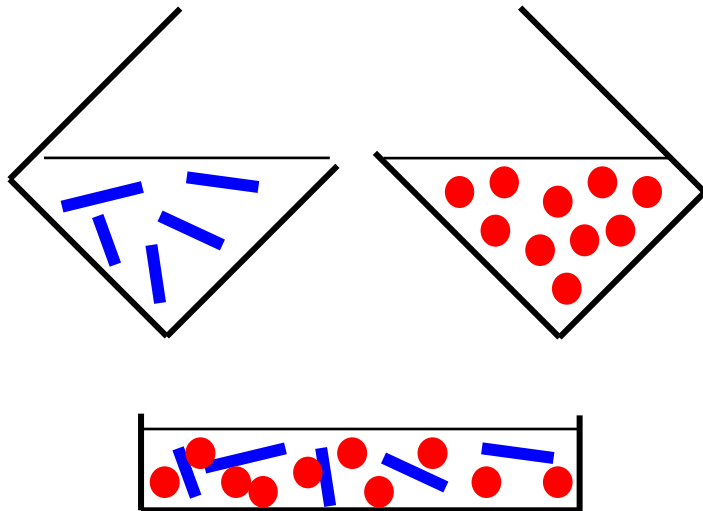


Mise en œuvre de nanocomposites

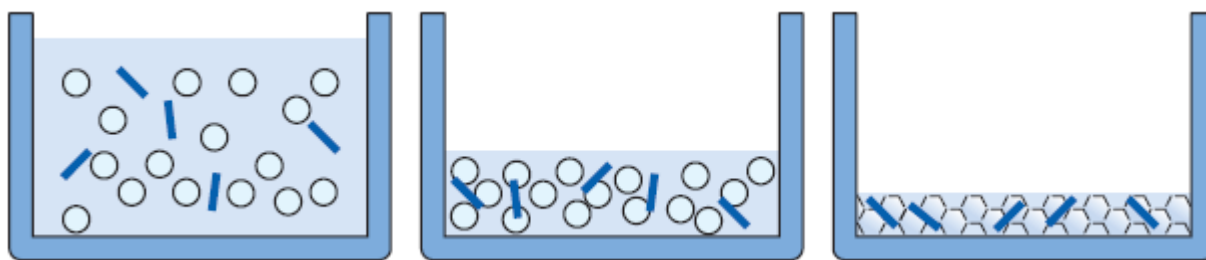


Mise en œuvre de nanocomposites – Première étude

CNC de tunicine / poly(S-co-BuA)

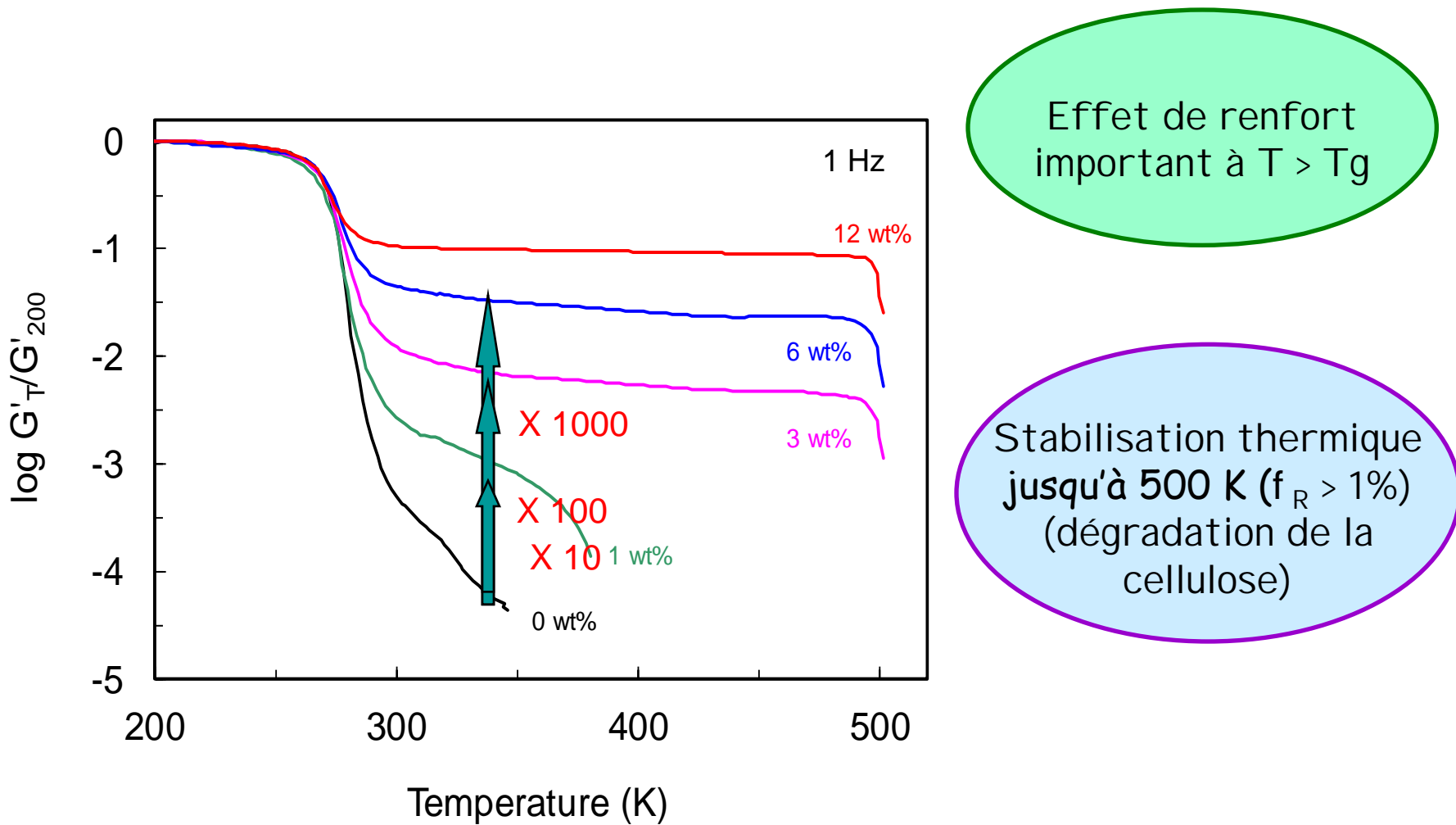


évaporation de l'eau ($T > T_g$) ® coalescence des particules ® nanocomposite



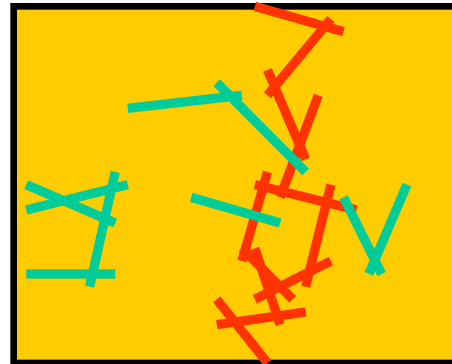
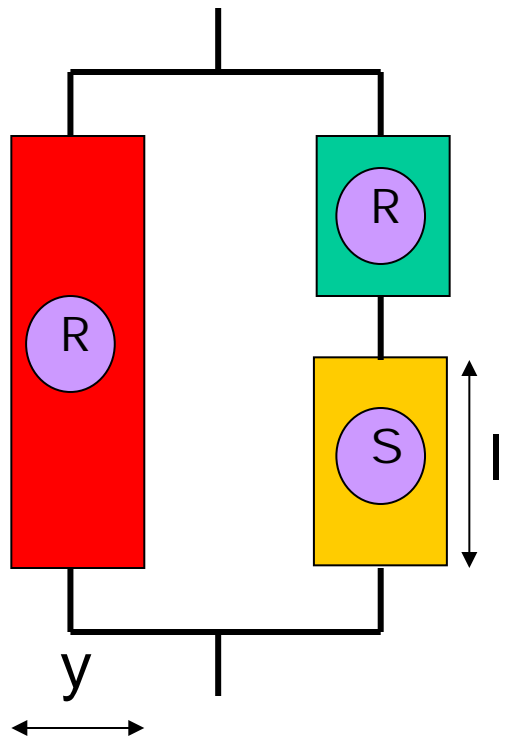
Propriétés mécaniques

CNC de tunicine / poly(S-co-BuA)



Percolation

CNC de tunicine / poly(S-co-BuA)



$$G = \frac{(1 - 2y + y f_R) G_S G_R + (1 - f_R) y G_R^2}{(1 - f_R) G_R + (v_R - y) G_S}$$

if $G_R \gg G_S \quad \nabla \quad G = y G_R$

$$y = 0 \quad \text{for } f_R < f_{Rc}$$

$$y = f_{Rc} \frac{f_R - f_{Rc}}{1 - f_{Rc}} \quad \begin{cases} \text{for } f_R \geq f_{Rc} \\ \emptyset \end{cases}$$

Réseau percolant de CNC:
 $E_R = 15 \text{ GPa}$ \otimes $G_R = 5 \text{ GPa}$

$L/d = 67 \otimes f_{Rc} = 1\%$
 $b = 0.4$ (système 3D)

y = fraction volumique percolante de la phase rigide

f_R = fraction volumique de phase rigide

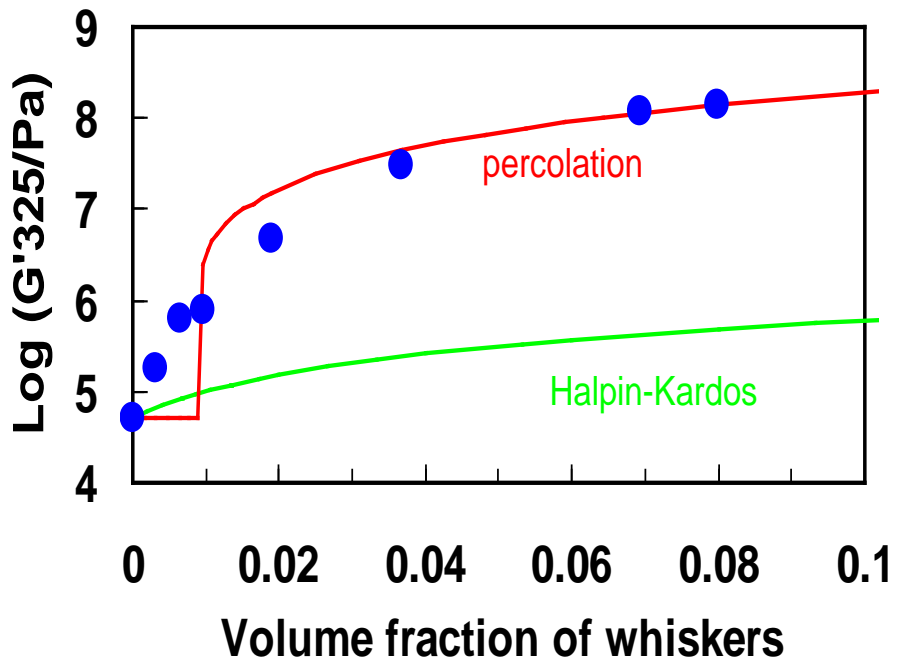
f_{Rc} = fraction volumique critique au seuil de percolation

b = exposant critique

G_R = module du réseau percolant de CNC

Percolation mécanique

CNC de tunicine / poly(S-co-BuA)



Bon accord entre données expérimentales et prédictes



Interactions fortes entre nanocristaux (liaisons H)
® formation d'un réseau rigide de CNC pour $f_R > f_{RC}$

Percolation mécanique

- ➡ Effet de renfort important
- ➡ Stabilisation thermique du module du composite
(évaporation d'eau = processus lent)

Phénomène similaire aux propriétés mécaniques élevées observées pour une feuille de papier résultant des interactions hydrogènes qui maintiennent le réseau percolant de fibres

Suspension non aqueuse



(a)



(b)



(c)

Azizi Samir et al., *Macromolecules*
2004, 37, 1386-1393

Van den Berg et al., *Biomacromolecules*
2007, 8, 1353-1357

Photographies de suspensions de CNC de tunicine (H_2SO_4) observées entre polariseurs croisés dans

- (a) eau
- (b) DMF
- (c) eau, lyophilisés et redispersés dans l'eau, DMF, DMSO, NMP, acide formique et m-cresol (de gauche à droite)

Suspension en milieu non aqueux polaire

La stabilité de la suspension est contrôlée par
(Azizi Samir et al., 2004):

- la valeur élevée de la constante diélectrique du liquide
- la mouillabilité des CNC par le milieu

Redisposition incomplète (évidence d'agrégation) (Viet et al., 2007)

CNC sans charge de surface (HCl) ne se dispersent pas aussi bien
dans les solvants aprotiques (DMSO, DMF, NMP) mais l'acide formique
et le m-cresol dispersent CNC non chargés (van den Berg et al., 2007)

Mélange de solvants

Mélange de la dispersion aqueuse de CNC avec une solution de polymère (**solvant miscible avec l'eau**)

- Copolymères oxyde d'éthylène-épichlorhydrine (EO-EPI) dopé LiClO_4 / CNC de tunicine par coulée d'un mélange THF/eau (Schroers et al., 2004)
- Films tout cellulose CNC / matrice cellulose régénérée à partir de NaOH-urée aqueux (cellulose II) (Qi et al., 2009)

Echange de solvants

Echange progressif de l'eau de la suspension de CNC par un solvant par centrifugations successives et redispersion (traitement US après chaque étape de pour éviter l'agrégation)

Sisal CNC



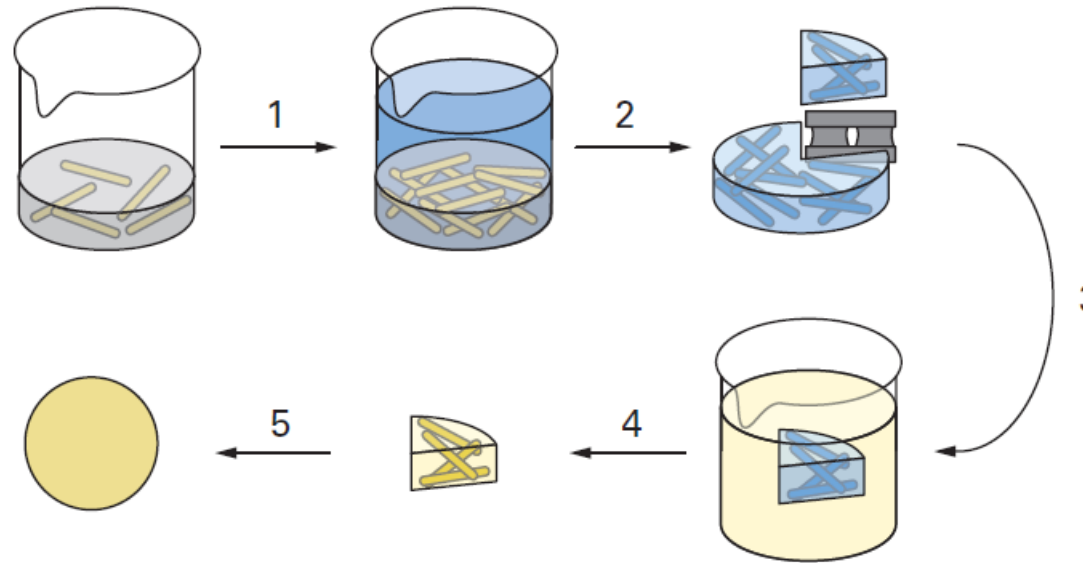
Sisal MFC



(i) Eau, (ii) Acétone and (iii) Dichlorométhane

Siqueira et al., *Biomacromolecules* 2009, 10, 425-432

Echange de solvant: Approche modèle



1. Un non-solvant est ajouté à la dispersion de CNC
2. Echange de solvant (miscible avec l'eau) favorise l'auto-assemblage d'un gel de nanocristaux
3. Le réseau de CNC gélifié est imbibé avec un polymère par immersion dans une solution de polymère (miscible avec le solvant du gel)
4. Séchage (évaporation du solvant)
5. Compaction

Préparation de dispersions stables de CNC lyophilisés et recouverts (ester phosphorique de polyoxyéthylène (9) éther de nonyl phényle) dans

- Toluène
- Cyclohexane
- Chloroforme

CNC recouverts dispersés dans polypropylène, poly(éthylène-co-acétate de vinyle et acide polylactique

Modification chimique de surface

Modification des OH de surface: greffage de petites molécules ou **polymères (grafting from ou grafting onto)** pour diminuer l'énergie de surface des nanoparticules

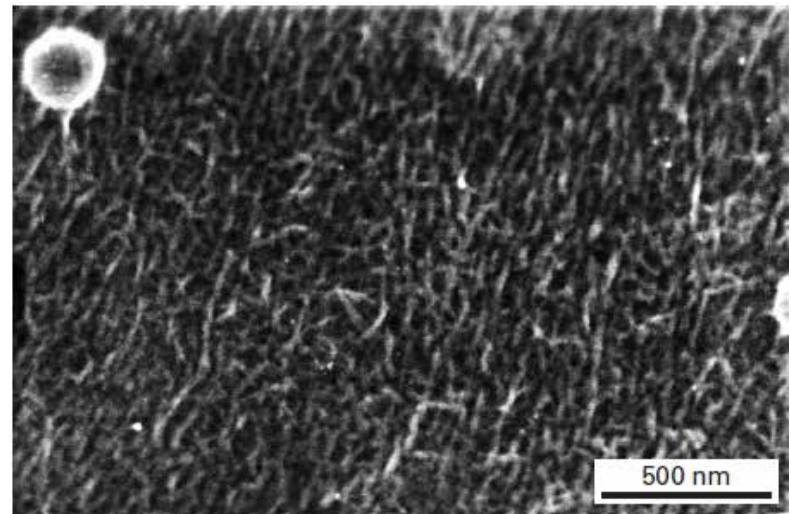
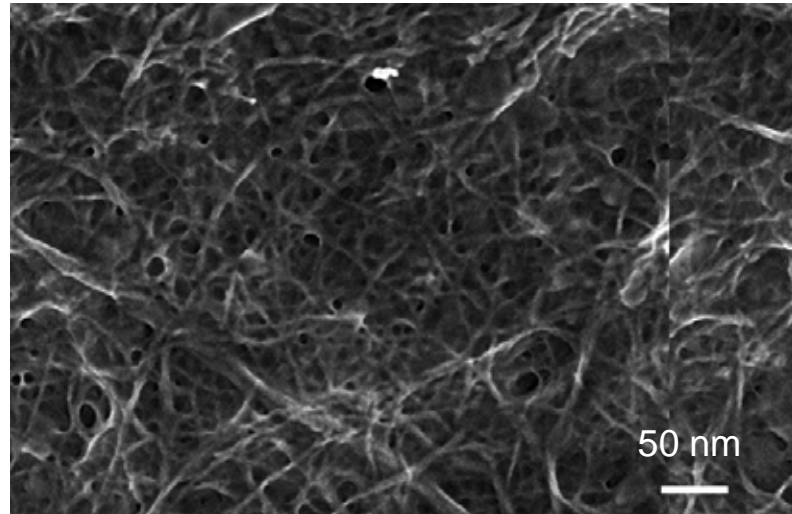
Dispersion dans des solvants organiques de faible polarité et mélange avec une solution polymère

Deux effets contradictoires sur les propriétés mécaniques des nanocomposites:

- Amélioration de la dispersion
- Limitation des interactions entre nanoparticules

Imprégnation

Evaporation de l'eau: formation d'un film de CNC ou CNF



Imprégnation du film par immersion dans
une solution de polymère

Milieu liquide

Préservation de l'état de dispersion dans le milieu liquide

Limitation du nombre de matrices polymères

Non-industriel et non-économique

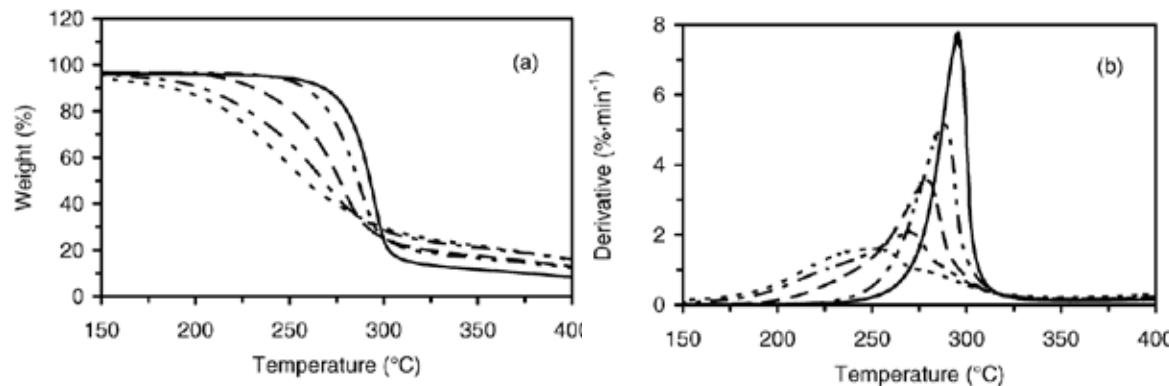
Polymère fondu

Procédé vert

Industriellement et économiquement viable

Hydrophilie → agrégation des nanoparticules cellulaires lors du séchage

Faible stabilité thermique



Roman and Winter, 2004

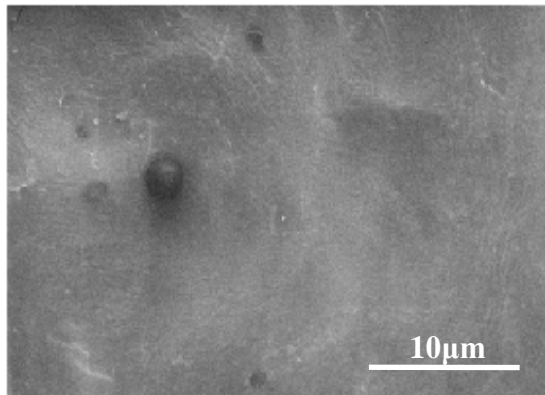
Mise en œuvre de nanocomposites à l'état fondu

Polymer	Nanoparticle	Source of Cellulose	Processing Aid/Surface Functionalization	Processing Technique	Reference
BIOPLAST GF 106/02	CNC/MFC	Ramie/Luffa cylindrica	DOPE Process	Extrusion	(Lemahieu et al., 2011)
NR	CNC	MCC	Silane	Milling/Hot-Pressing	(Xu et al., 2012)
PCL	CNC	Ramie	ROP PCL Grafting	Extrusion/Injection	(Goffin et al., 2011a)
PE	MFC	Soybean	Ethylene-acrylic oligomer coating	Mixing/Hot-Pressing	(Wang and Sain, 2007a)
	CNC	Ramie	Aliphatic Chains Grafting	Extrusion	(de Menezes et al., 2009)
		Cotton	PEO	Extrusion	(Ben Azouz et al., 2012)
PEO	CNC	Ramie	—	Extrusion	(Alloin et al., 2011)
PHB	MFC	Hemp	Different coatings	Extrusion/Injection Molding	(Wang and Sain, 2007c)
PHBV	CNC	MCC	PEG	Extrusion/Injection Molding	(Jiang et al., 2008)
PLA	CNC	MCC	PEG/Maleated PLA	Extrusion	(Oksman et al., 2006)
		MCC	PVA	Extrusion	(Bondeson and Oksman, 2007)
	MFC	Daicel	—	Mixing/Hot-Pressing	(Iwatake et al., 2008)
		Daicel	—	Mixing/Hot-Pressing	(Suryanegara et al., 2009)
		Kenaf	—	Extrusion/Injection	(Jonoobi et al., 2010)
		Daicel	—	Injection	(Suryanegara et al., 2011)
	CNC	Ramie	ROP PLA Grafting	Extrusion/Injection	(Goffin et al., 2011b)
		Ramie	Silane	Extrusion/Injection	(Raquez et al., 2012)
		MCC	Surfactant	Extrusion	(Fortunati et al., 2012)
PP	MFC	Soybean	Ethylene-acrylic oligomer coating	Mixing/Hot-Pressing	(Wang and Sain, 2007b)
Starch	CNC	Softwood Dissolving Pulp, Cotton, Bacterial Cellulose	—	Extrusion	(Orts et al., 2005)

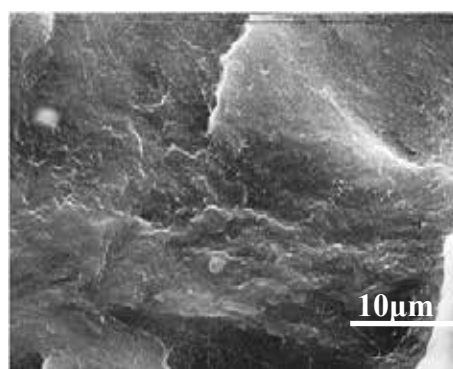
Polymère hydrosoluble

Polymer	Nanoparticle	Source of Cellulose	Processing Aid/Surface Functionalization	Processing Technique	Reference
BIOPLAST GF 106/02	CNC/MFC	Ramie/Luffa cylindrica	DOPE Process	Extrusion	(Lemahieu et al., 2011)
NR	CNC	MCC	Silane	Milling/Hot-Pressing	(Xu et al., 2012)
PCL	CNC	Ramie	ROP PCL Grafting	Extrusion/Injection	(Goffin et al., 2011a)
PE	MFC	Soybean	Ethylene-acrylic oligomer coating	Mixing/Hot-Pressing	(Wang and Sain, 2007a)
	CNC	Ramie	Aliphatic Chains Grafting	Extrusion	(de Menezes et al., 2009)
PEO	CNC	Cotton	PEO	Extrusion	(Ben Azouz et al., 2012)
	CNC	Ramie	—	Extrusion	(Alloin et al., 2011)
PHB	MFC	Hemp	Different coatings	Extrusion/Injection Molding	(Wang and Sain, 2007c)
PHBV	CNC	MCC	PEG	Extrusion/Injection Molding	(Jiang et al., 2008)
	CNC	MCC	PEG/Maleated PLA	Extrusion	(Oksman et al., 2006)
		MCC	PVA	Extrusion	(Bondeson and Oksman, 2007)
PLA	MFC	Daicel	—	Mixing/Hot-Pressing	(Iwatake et al., 2008)
		Daicel	—	Mixing/Hot-Pressing	(Suryanegara et al., 2009)
		Kenaf	—	Extrusion/Injection	(Jonoobi et al., 2010)
	CNC	Daicel	—	Injection	(Suryanegara et al., 2011)
		Ramie	ROP PLA Grafting	Extrusion/Injection	(Goffin et al., 2011b)
		Ramie	Silane	Extrusion/Injection	(Raquez et al., 2012)
PP	MFC	MCC	Surfactant	Extrusion	(Fortunati et al., 2012)
		Soybean	Ethylene-acrylic oligomer coating	Mixing/Hot-Pressing	(Wang and Sain, 2007b)
Starch	CNC	Softwood Dissolving Pulp, Cotton, Bacterial Cellulose	—	Extrusion	(Orts et al., 2005)

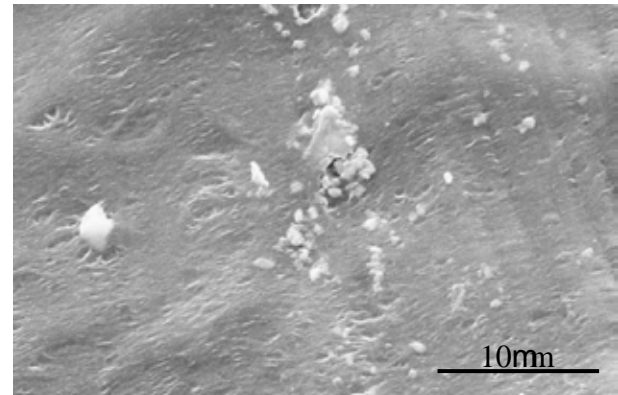
Polymère hydrosoluble



Unfilled
PEO



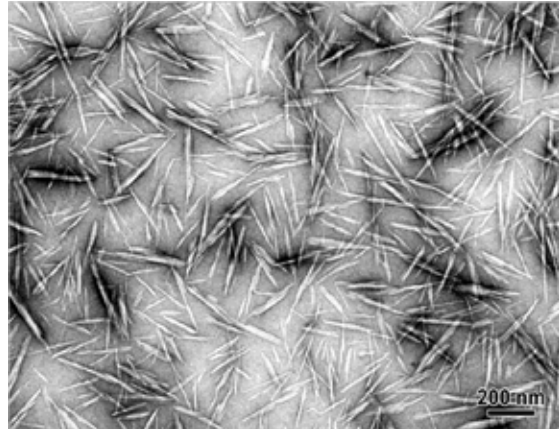
PEO + 6 wt% CNC
(cast/evaporated)



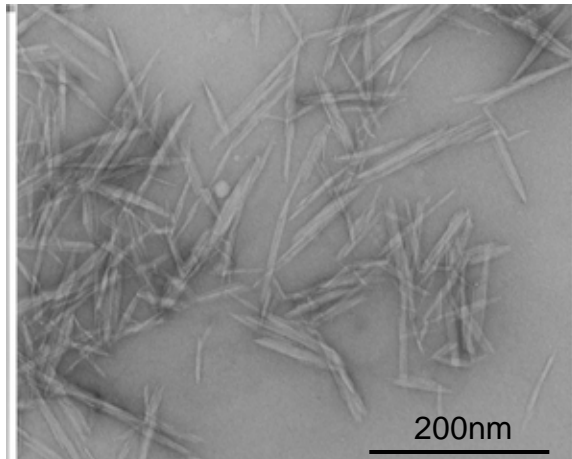
PEO + 6 wt% CNC
(extruded)

Agrégation lors du procédé d'extrusion

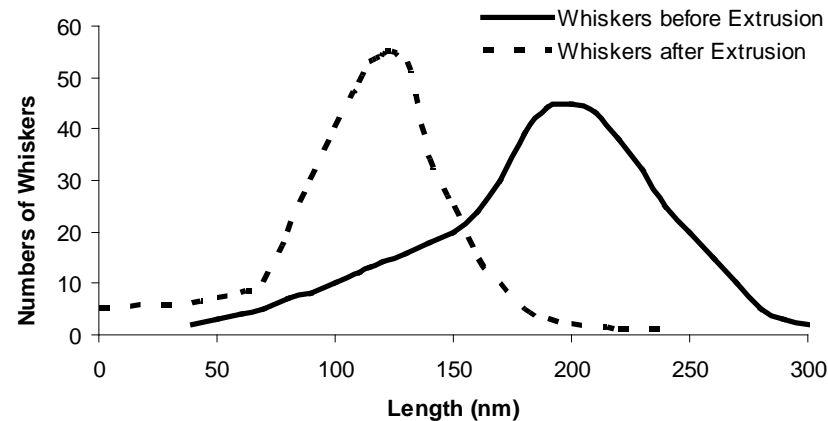
Polymère hydrosoluble



Suspension de CNC de ramie



CNC de ramie extrudés



Extrusion

Diminution de longueur (200 ± 78 nm $\rightarrow 122 \pm 45$ nm)

Distribution de longueur plus étroite (plus monodisperse) \rightarrow dégradation des CNC les plus longs

Diminution de la section (7 ± 1 nm $\rightarrow 5 \pm 1$ nm)

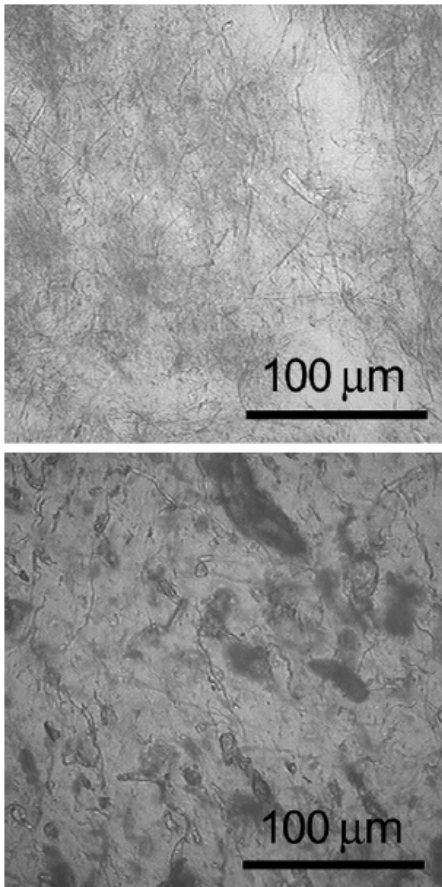
Faible diminution du facteur de forme ($28 \rightarrow 24$)

Echange/mélange de solvant

Polymer	Nanoparticle	Source of Cellulose	Processing Aid/Surface Functionalization	Processing Technique	Reference
BIOPLAST GF 106/02	CNC/MFC	Ramie/Luffa cylindrica	DOPE Process	Extrusion	(Lemahieu et al., 2011)
NR	CNC	MCC	Silane	Milling/Hot-Pressing	(Xu et al., 2012)
PCL	CNC	Ramie	ROP PCL Grafting	Extrusion/Injection	(Goffin et al., 2011a)
PE	MFC	Soybean	Ethylene-acrylic oligomer coating	Mixing/Hot-Pressing	(Wang and Sain, 2007a)
	CNC	Ramie	Aliphatic Chains Grafting	Extrusion	(de Menezes et al., 2009)
PEO	CNC	Cotton	PEO	Extrusion	(Ben Azouz et al., 2012)
PHB	MFC	Hemp	Different coatings	Extrusion/Injection Molding	(Wang and Sain, 2007c)
PHBV	CNC	MCC	PEG	Extrusion/Injection Molding	(Jiang et al., 2008)
PLA	CNC	MCC	PEG/Maleated PLA	Extrusion	(Oksman et al., 2006)
		MCC	PVA	Extrusion	(Bondeson and Oksman, 2007)
	MFC	Daicel	—	Mixing/Hot-Pressing	(Iwatake et al., 2008)
		Daicel	—	Mixing/Hot-Pressing	(Suryanegara et al., 2009)
		Kenaf	—	Extrusion/Injection	(Jonoobi et al., 2010)
		Daicel	—	Injection	(Suryanegara et al., 2011)
	CNC	Ramie	ROP PLA Grafting	Extrusion/Injection	(Goffin et al., 2011b)
		Ramie	Silane	Extrusion/Injection	(Raquez et al., 2012)
		MCC	Surfactant	Extrusion	(Fortunati et al., 2012)
PP	MFC	Soybean	Ethylene-acrylic oligomer coating	Mixing/Hot-Pressing	(Wang and Sain, 2007b)
Starch	CNC	Softwood Dissolving Pulp, Cotton, Bacterial Cellulose	—	Extrusion	(Orts et al., 2005)

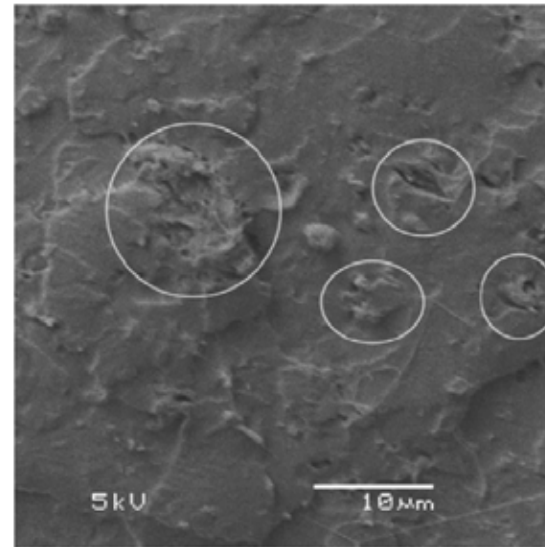
Echange/mélange de solvant

Eau/acétone



Mélange direct
Iwatake et al., *Compos. Sci. Technol.*
2008, 68, 2103-2106

Eau → acétone

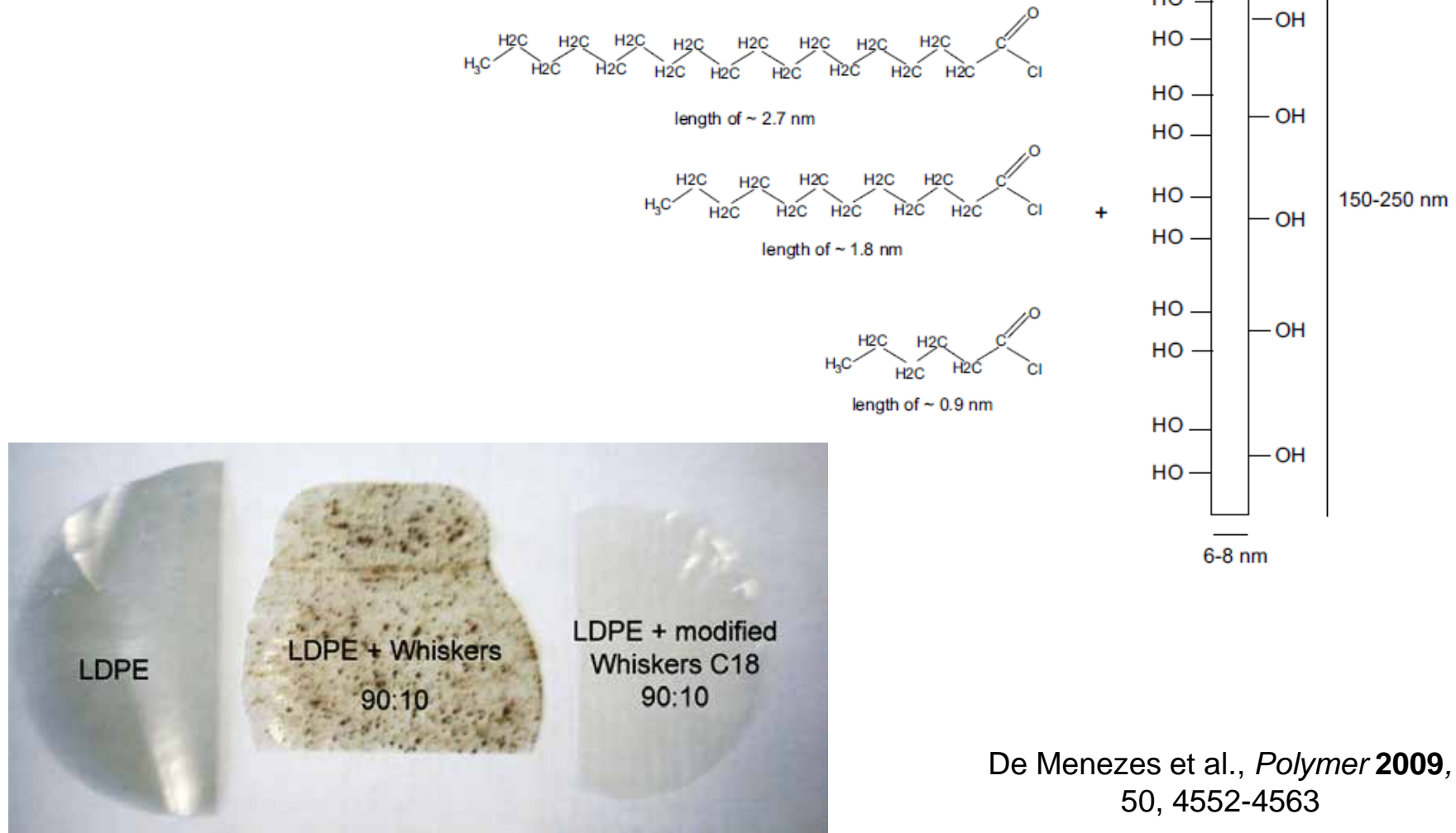


Jonoobi et al., *Compos. Sci. Technol.* **2010**, 70, 1742-1747

Greffage chimique de surface

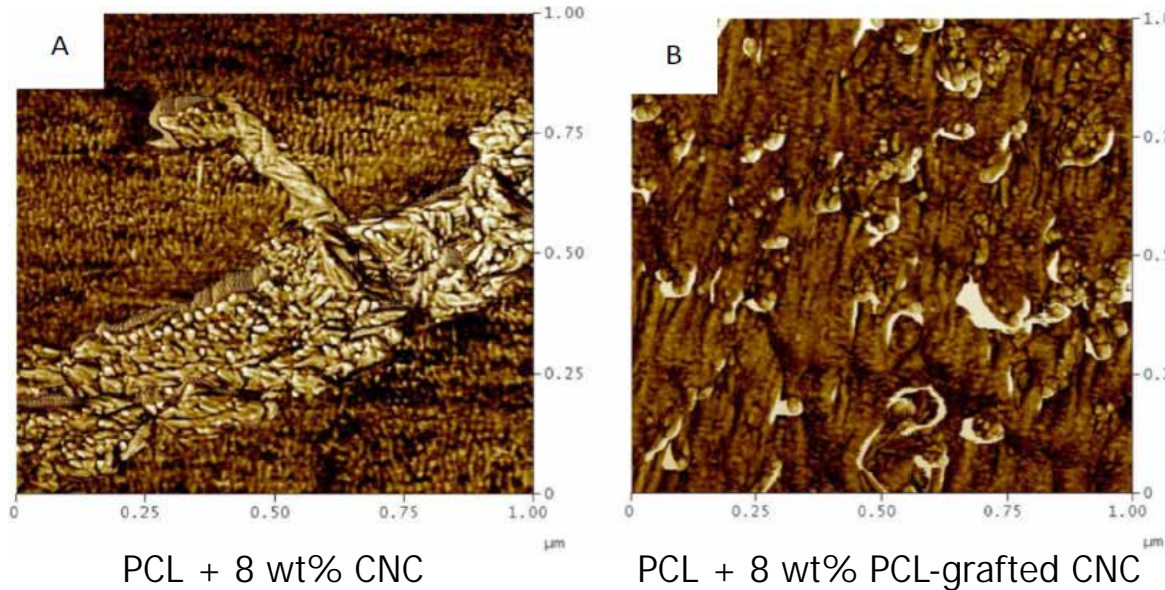
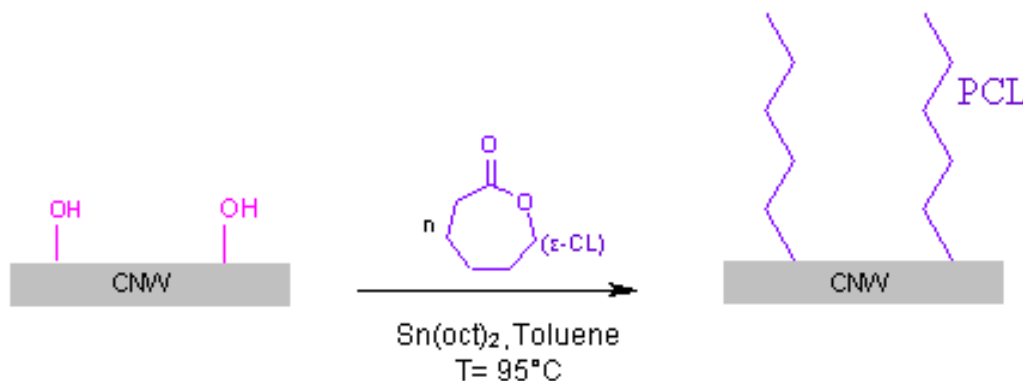
Polymer	Nanoparticle	Source of Cellulose	Processing Aid/Surface Functionalization	Processing Technique	Reference
BIOPLAST GF 106/02	CNC/MFC	Ramie/Luffa cylindrica	DOPE Process	Extrusion	(Lemahieu et al., 2011)
NR	CNC	MCC	Silane	Milling/Hot-Pressing	(Xu et al., 2012)
PCL	CNC	Ramie	ROP PCL Grafting	Extrusion/Injection	(Goffin et al., 2011a)
PE	MFC	Soybean	Ethylene-acrylic oligomer coating	Mixing/Hot-Pressing	(Wang and Sain, 2007a)
	CNC	Ramie	Aliphatic Chains Grafting	Extrusion	(de Menezes et al., 2009)
PEO	CNC	Ramie	—	Extrusion	(Alloin et al., 2011)
PHB	MFC	Hemp	Different coatings	Extrusion/Injection Molding	(Wang and Sain, 2007c)
PHBV	CNC	MCC	PEG	Extrusion/Injection Molding	(Jiang et al., 2008)
PLA	CNC	MCC	PEG/Maleated PLA	Extrusion	(Oksman et al., 2006)
		MCC	PVA	Extrusion	(Bondeson and Oksman, 2007)
		Daicel	—	Mixing/Hot-Pressing	(Iwatake et al., 2008)
	MFC	Daicel	—	Mixing/Hot-Pressing	(Suryanegara et al., 2009)
		Kenaf	—	Extrusion/Injection	(Jonoobi et al., 2010)
		Daicel	—	Injection	(Suryanegara et al., 2011)
	CNC	Ramie	ROP PLA Grafting	Extrusion/Injection	(Goffin et al., 2011b)
		Ramie	Silane	Extrusion/Injection	(Raquez et al., 2012)
		MCC	Surfactant	Extrusion	(Fortunati et al., 2012)
PP	MFC	Soybean	Ethylene-acrylic oligomer coating	Mixing/Hot-Pressing	(Wang and Sain, 2007b)
Starch	CNC	Softwood Dissolving Pulp, Cotton, Bacterial Cellulose	—	Extrusion	(Orts et al., 2005)

Greffage chimique de surface



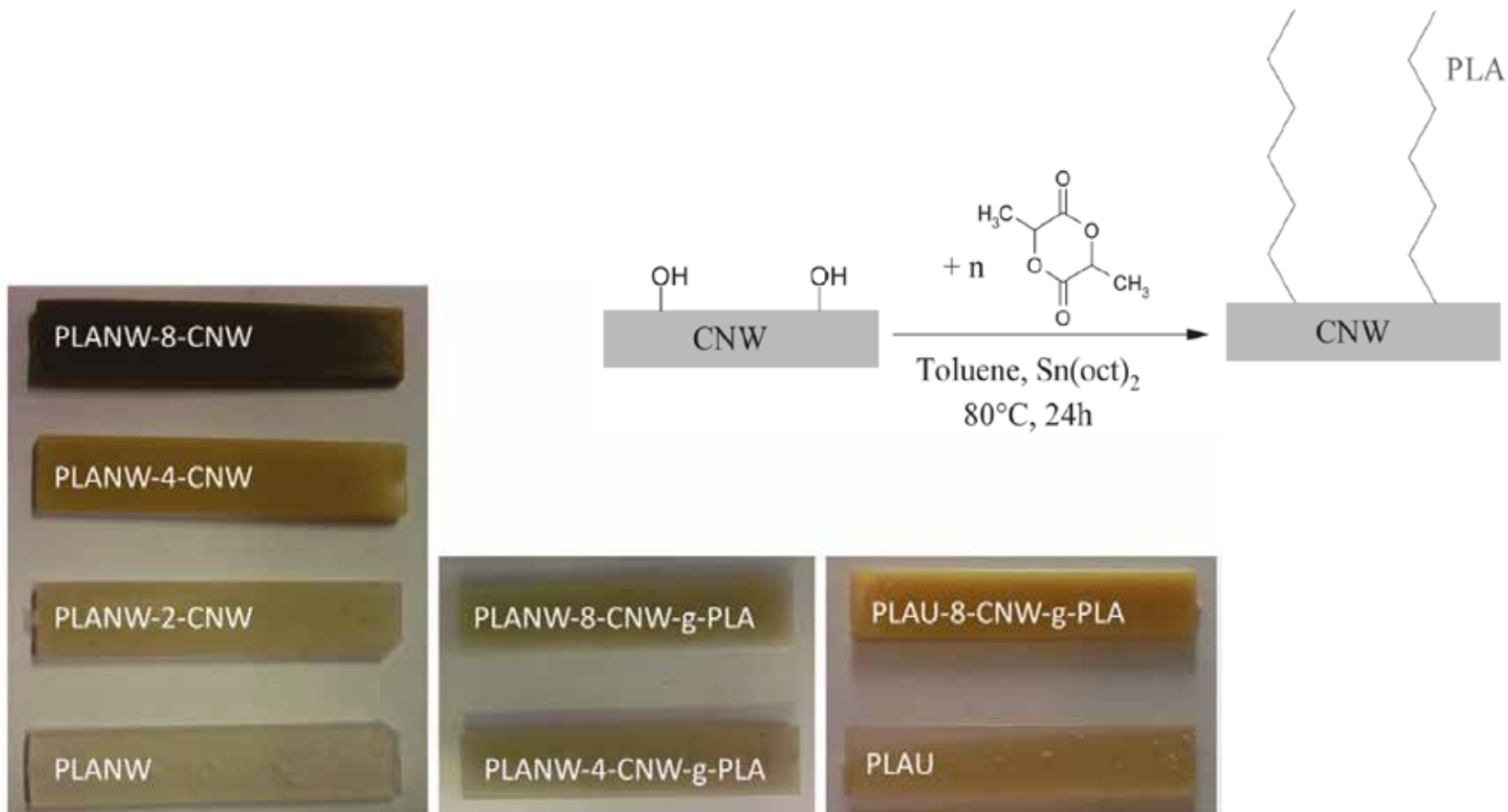
De Menezes et al., *Polymer* 2009,
50, 4552-4563

Greffage chimique de surface



Goffin et al., *Polymer* 2011,
52, 1532-1538

Greffage chimique de surface

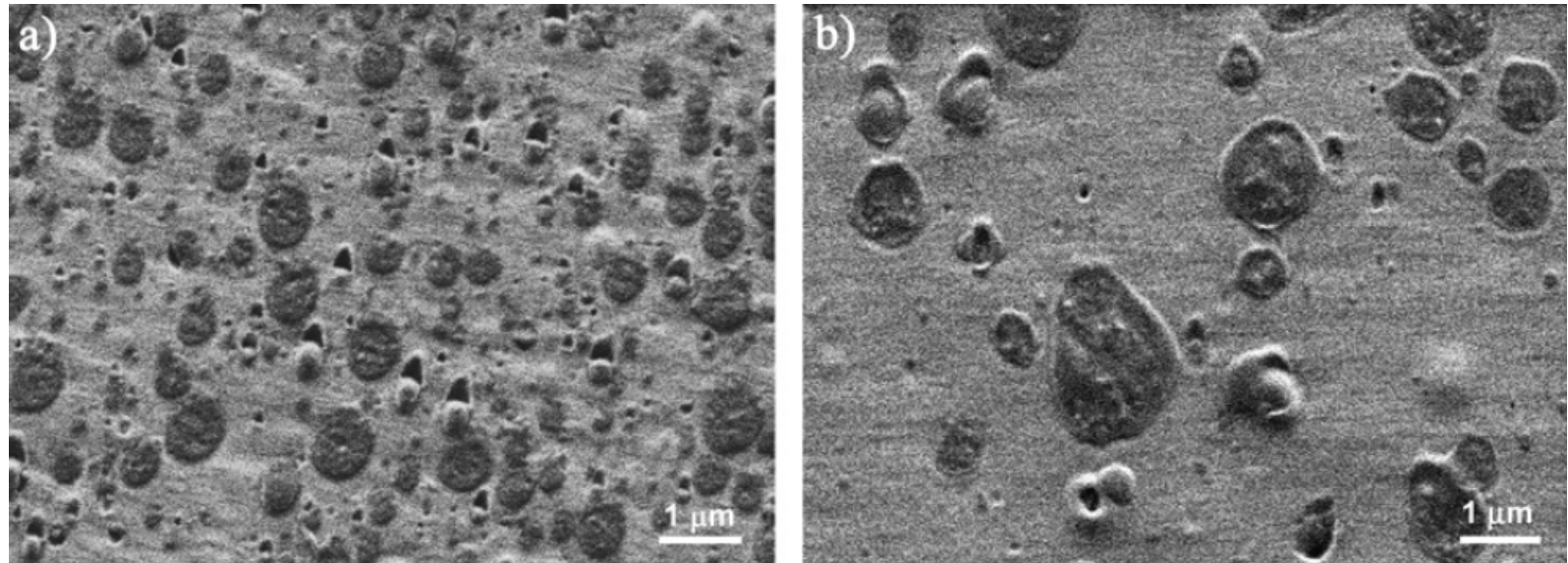


Adjuvant

Polymer	Nanoparticle	Source of Cellulose	Processing Aid/Surface Functionalization	Processing Technique	Reference
BIOPLAST GF 106/02	CNC/MFC	Ramie/Luffa cylindrica	DOPE Process	Extrusion	(Lemahieu et al., 2011)
NR	CNC	MCC	Silane	Milling/Hot-Pressing	(Xu et al., 2012)
PCL	CNC	Ramie	ROP PCL Grafting	Extrusion/Injection	(Goffin et al., 2011a)
PE	MFC	Soybean	Ethylene-acrylic oligomer coating	Mixing/Hot-Pressing	(Wang and Sain, 2007a)
	CNC	Ramie	Aliphatic Chains Grafting	Extrusion	(de Menezes et al., 2009)
PEO	CNC	Ramie	PEO	Extrusion	(Ben Azouz et al., 2012)
PEO	CNC	Ramie	—	Extrusion	(Alloin et al., 2011)
PHB	MFC	Hemp	Different coatings	Extrusion/Injection Molding	(Wang and Sain, 2007c)
PHBV	CNC	MCC	PEG	Extrusion/Injection Molding	(Jiang et al., 2008)
PLA	CNC	MCC	PEG/Maleated PLA	Extrusion	(Oksman et al., 2006)
		MCC	PVA	Extrusion	(Bondeson and Oksman, 2007)
	MFC	Daicel	—	Mixing/Hot-Pressing	(Iwatake et al., 2008)
		Daicel	—	Mixing/Hot-Pressing	(Suryanegara et al., 2009)
		Kenaf	—	Extrusion/Injection	(Jonoobi et al., 2010)
		Daicel	—	Injection	(Suryanegara et al., 2011)
	CNC	Ramie	ROP PLA Grafting	Extrusion/Injection	(Goffin et al., 2011b)
		Ramie	Silane	Extrusion/Injection	(Raquez et al., 2012)
		MCC	Surfactant	Extrusion	(Fortunati et al., 2012)
PP	MFC	Soybean	Ethylene-acrylic oligomer coating	Mixing/Hot-Pressing	(Wang and Sain, 2007b)
Starch	CNC	Softwood Dissolving Pulp, Cotton, Bacterial Cellulose	—	Extrusion	(Orts et al., 2005)

PVA comme adjuvant pour PLA/CNC

Séparation de phase avec une phase continue de PLA et une phase dispersée de PVA ($M_w = 31,000$) et migration des CNC dans la phase PVA

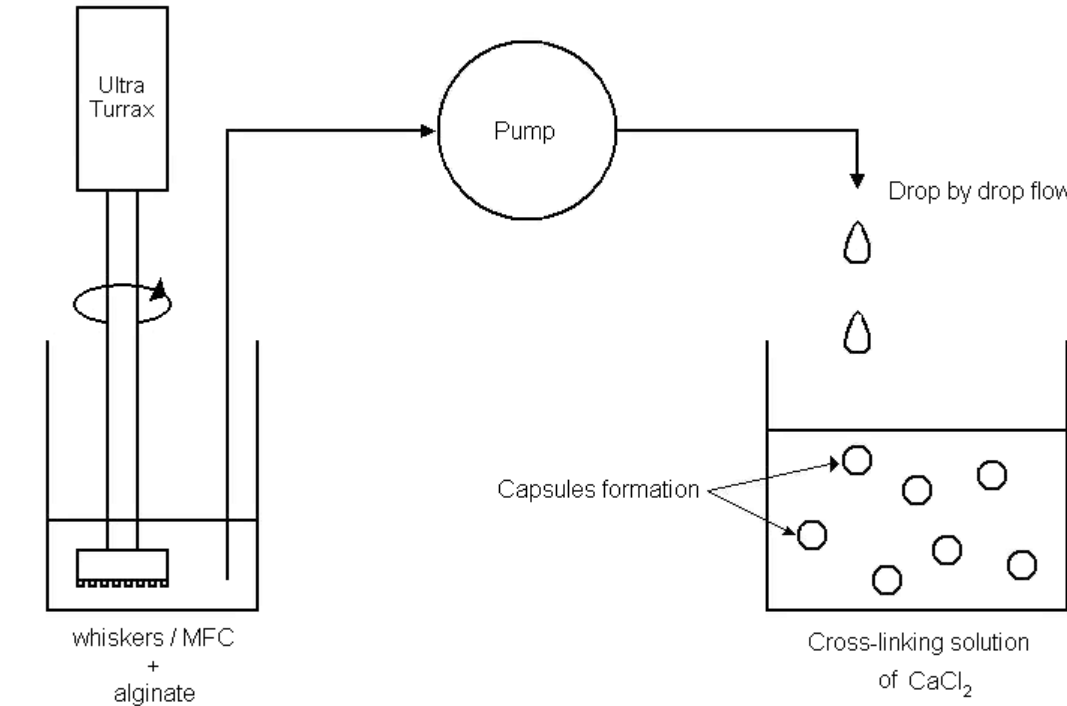


Bondeson and Oksman, *Composites A* **2007**, 38, 2486-2492

Procédé DOPE

Polymer	Nanoparticle	Source of Cellulose	Processing Aid/Surface Functionalization	Processing Technique	Reference
BIOPLAST GF 106/02	CNC/MFC	Ramie/Luffa cylindrica	DOPE Process	Extrusion	(Lemahieu et al., 2011)
NR	CNC	MCC	Silane	Milling/Hot-Pressing	(Xu et al., 2012)
PCL	CNC	Ramie	ROP PCL Grafting	Extrusion/Injection	(Goffin et al., 2011a)
PE	MFC	Soybean	Ethylene-acrylic oligomer coating	Milling/Hot-Pressing	(Wang and Sain, 2007a)
	CNC	Ramie	Aliphatic Chains Grafting	Extrusion	(de Menezes et al., 2009)
PEO	CNC	Cotton	PEO	Extrusion	(Ben Azouz et al., 2012)
PHB	MFC	Ramie	—	Extrusion	(Alloin et al., 2011)
PHBV	CNC	Hemp	Different coatings	Extrusion/Injection Molding	(Wang and Sain, 2007c)
PLA	CNC	MCC	PEG	Extrusion/Injection Molding	(Jiang et al., 2008)
	CNC	MCC	PEG/Maleated PLA	Extrusion	(Oksman et al., 2006)
		MCC	PVA	Extrusion	(Bondeson and Oksman, 2007)
	MFC	Daicel	—	Milling/Hot-Pressing	(Iwatake et al., 2008)
		Daicel	—	Milling/Hot-Pressing	(Suryanegara et al., 2009)
		Kenaf	—	Extrusion/Injection	(Jonoobi et al., 2010)
PP	CNC	Daicel	—	Injection	(Suryanegara et al., 2011)
		Ramie	ROP PLA Grafting	Extrusion/Injection	(Goffin et al., 2011b)
		Ramie	Silane	Extrusion/Injection	(Raquez et al., 2012)
	MCC	Surfactant	Extrusion	(Fortunati et al., 2012)	
Starch	MFC	Soybean	Ethylene-acrylic oligomer coating	Milling/Hot-Pressing	(Wang and Sain, 2007b)
Starch	CNC	Softwood Dissolving Pulp, Cotton, Bacterial Cellulose	—	Extrusion	(Orts et al., 2005)

Dispersed Nano-Object Protective Encapsulation – Procédé DOPE



Etape 1: Dissolution de l'alginate sec dans la suspension de nanoparticules cellulosiques

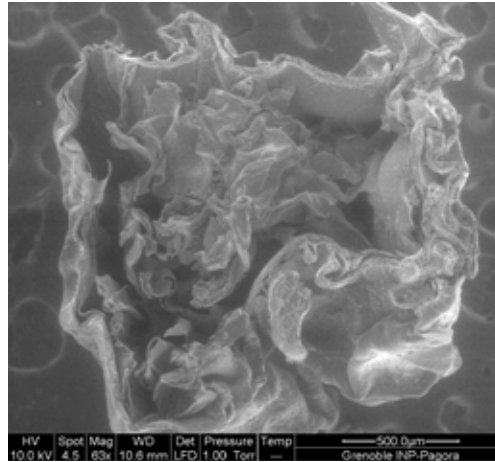
Etape 2: Pompage de la suspension dans une solution réticulante (CaCl_2) goutte à goutte

Etape 3: Filtration + lyophilisation

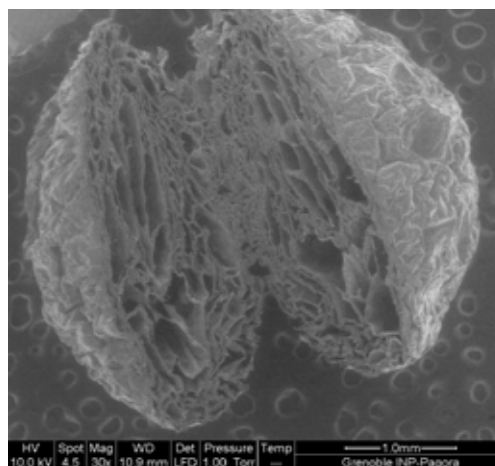
Dispersed Nano-Object Protective Encapsulation – Procédé DOPE



Capsules diamètre 2-4 mm



Capsule DOPE d'alginate pur



Capsule DOPE nanocomposite avec CNC de ramie (40%)

Mise en œuvre de nanocomposites à l'état fondu

Polymères hydrosolubles: nombre limité de polymères + mauvaise dispersion

Echange/mélange de Solvant: utilisation de solvants organiques + mauvaise dispersion

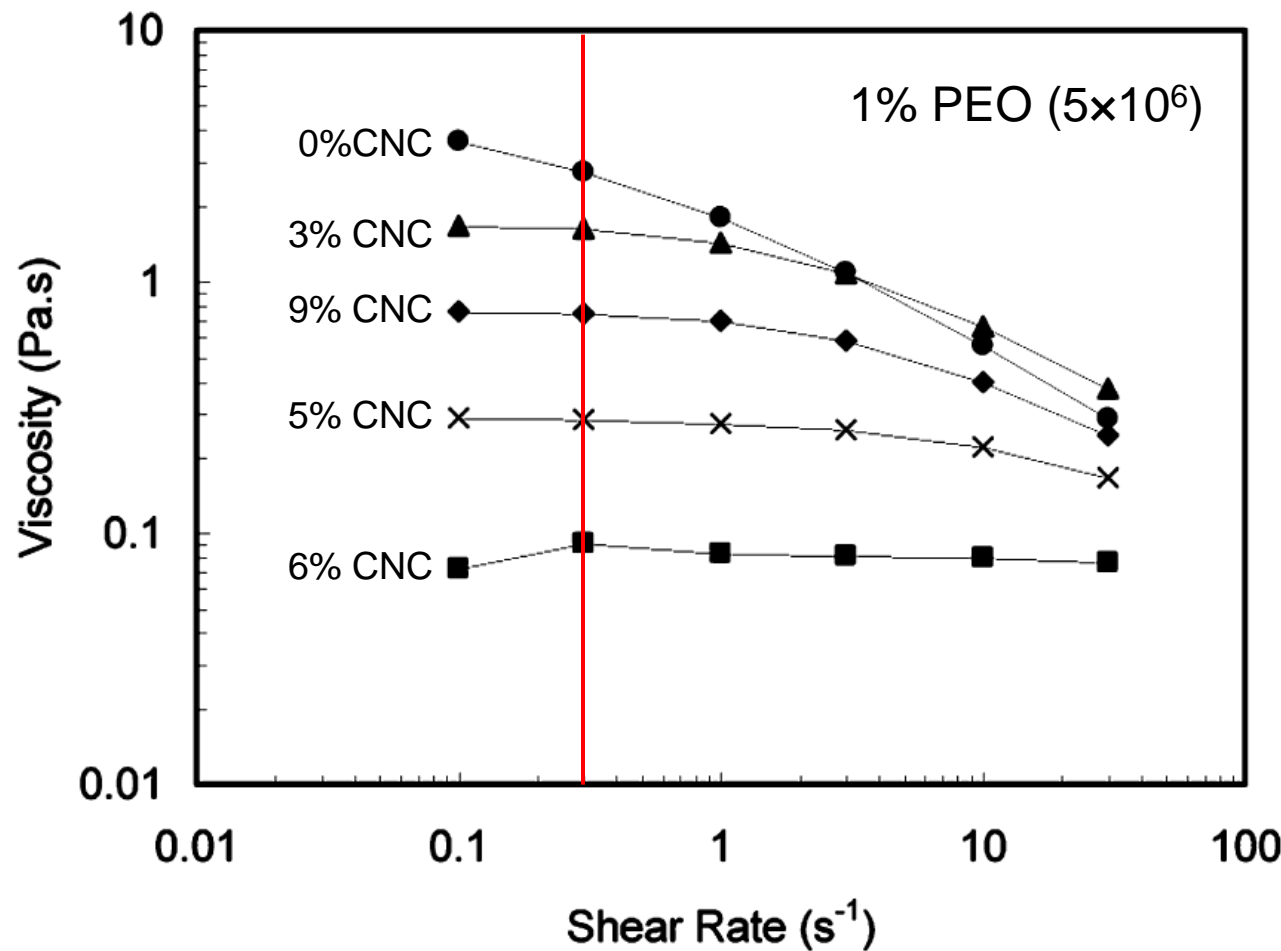
Greffage chimique de surface: Amélioration de la dispersion, mais étape additionnelle

Adjuvants: Mauvaise dispersion à cause du cisaillement élevé impliqué lors de l'extrusion → les petites molécules adsorbées (surfactants) sont arrachées de la surface de la nanoparticule et mélangées avec la matrice

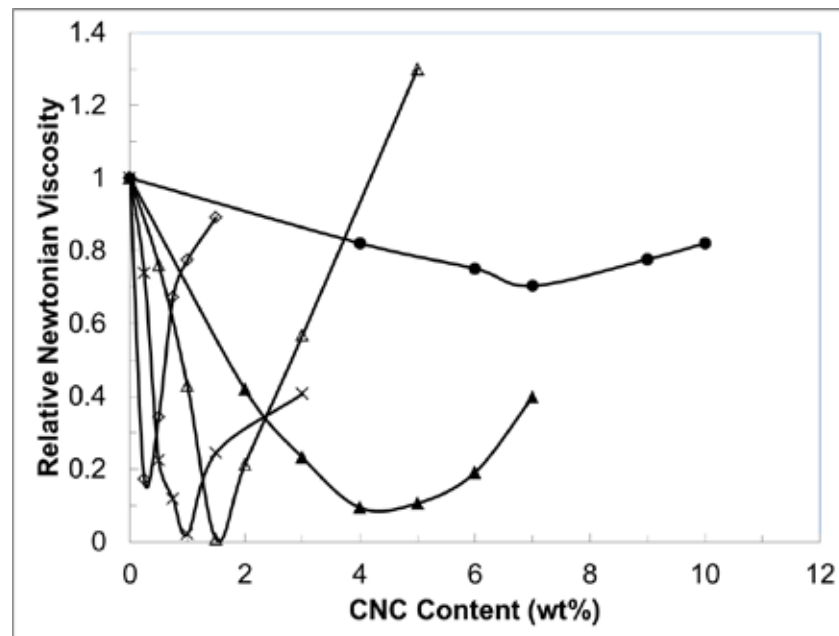
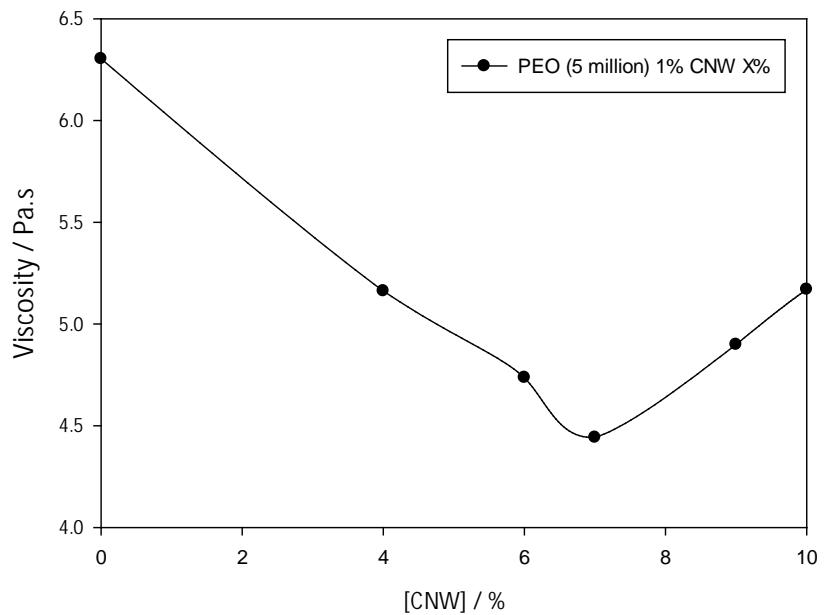
Adsorption de polymère

Polymer	Nanoparticle	Source of Cellulose	Processing Aid/Surface Functionalization	Processing Technique	Reference
BIOPLAST GF 106/02	CNC/MFC	Ramie/Luffa cylindrica	DOPE Process	Extrusion	(Lemahieu et al., 2011)
NR	CNC	MCC	Silane	Milling/Hot-Pressing	(Xu et al., 2012)
PCL	CNC	Ramie	ROP PCL Grafting	Extrusion/Injection	(Goffin et al., 2011a)
PE	MFC	Soybean	Ethylene-acrylic oligomer coating	Mixing/Hot-Pressing	(Wang and Sain, 2007a)
	CNC	Ramie	Aliphatic Chains Grafting	Extrusion	(de Menezes et al., 2009)
	Cotton		PEO	Extrusion	(Ben Azouz et al., 2012)
PEO	CNC	Ramie	—	Extrusion	(Alloin et al., 2011)
PHB	MFC	Hemp	Different coatings	Extrusion/Injection Molding	(Wang and Sain, 2007c)
PHBV	CNC	MCC	PEG	Extrusion/Injection Molding	(Jiang et al., 2008)
	CNC	MCC	PEG/Maleated PLA	Extrusion	(Oksman et al., 2006)
	CNC	MCC	PVA	Extrusion	(Bondeson and Oksman, 2007)
	MFC	Daicel	—	Mixing/Hot-Pressing	(Iwatake et al., 2008)
PLA	MFC	Daicel	—	Mixing/Hot-Pressing	(Suryanegara et al., 2009)
	MFC	Kenaf	—	Extrusion/Injection	(Jonoobi et al., 2010)
	MFC	Daicel	—	Injection	(Suryanegara et al., 2011)
	CNC	Ramie	ROP PLA Grafting	Extrusion/Injection	(Goffin et al., 2011b)
	CNC	Ramie	Silane	Extrusion/Injection	(Raquez et al., 2012)
PP	MFC	MCC	Surfactant	Extrusion	(Fortunati et al., 2012)
	MFC	Soybean	Ethylene-acrylic oligomer coating	Mixing/Hot-Pressing	(Wang and Sain, 2007b)
Starch	CNC	Softwood Dissolving Pulp, Cotton, Bacterial Cellulose	—	Extrusion	(Orts et al., 2005)

Adsorption de polymère de haut poids moléculaire

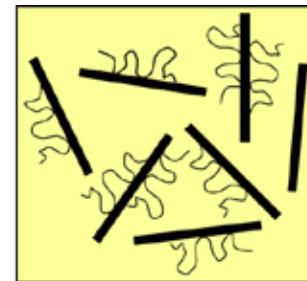
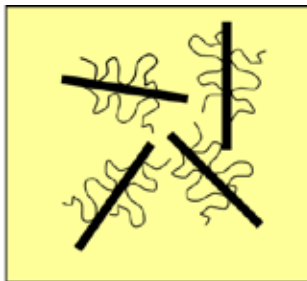
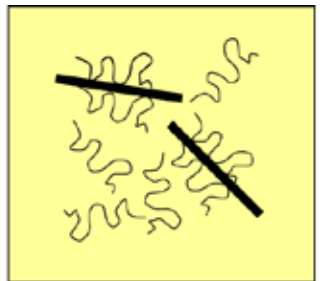


Adsorption de polymère de haut poids moléculaire



Ben Azouz et al., *ACS Macro Letters* 2012, 1, 236-240

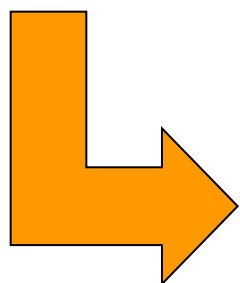
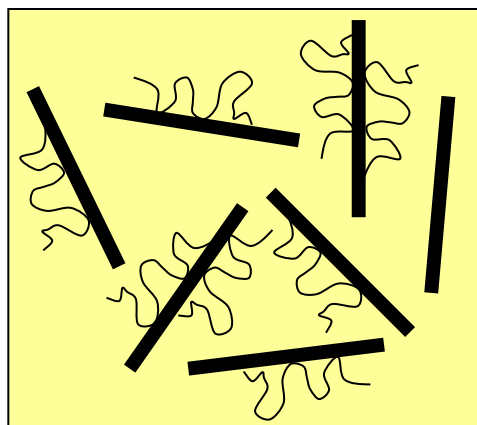
Pereda et al., *submitted*



CNC Content

Extrusion

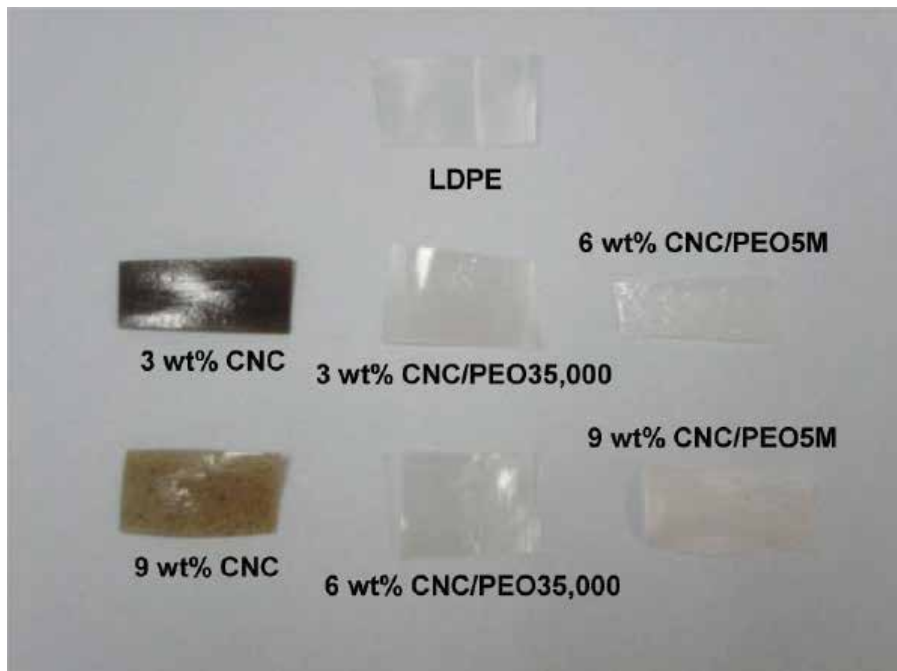
CNC: PEO 80:20



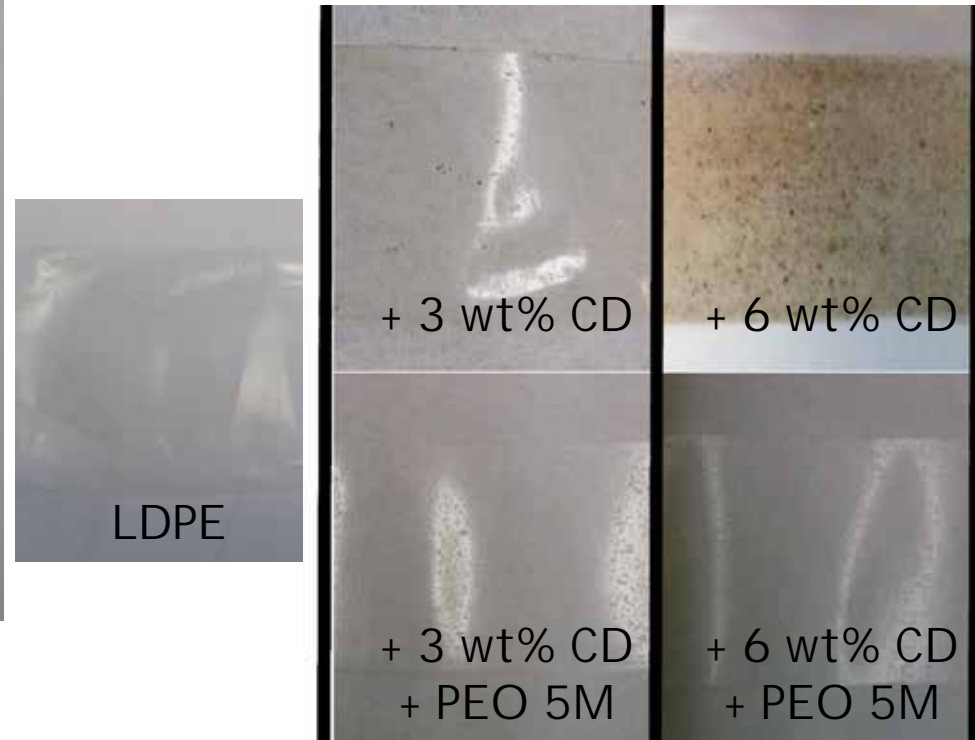
Lyophilisation

Extrusion avec PEBD (160°C, 60 rpm, 10 min)

Films extrudés



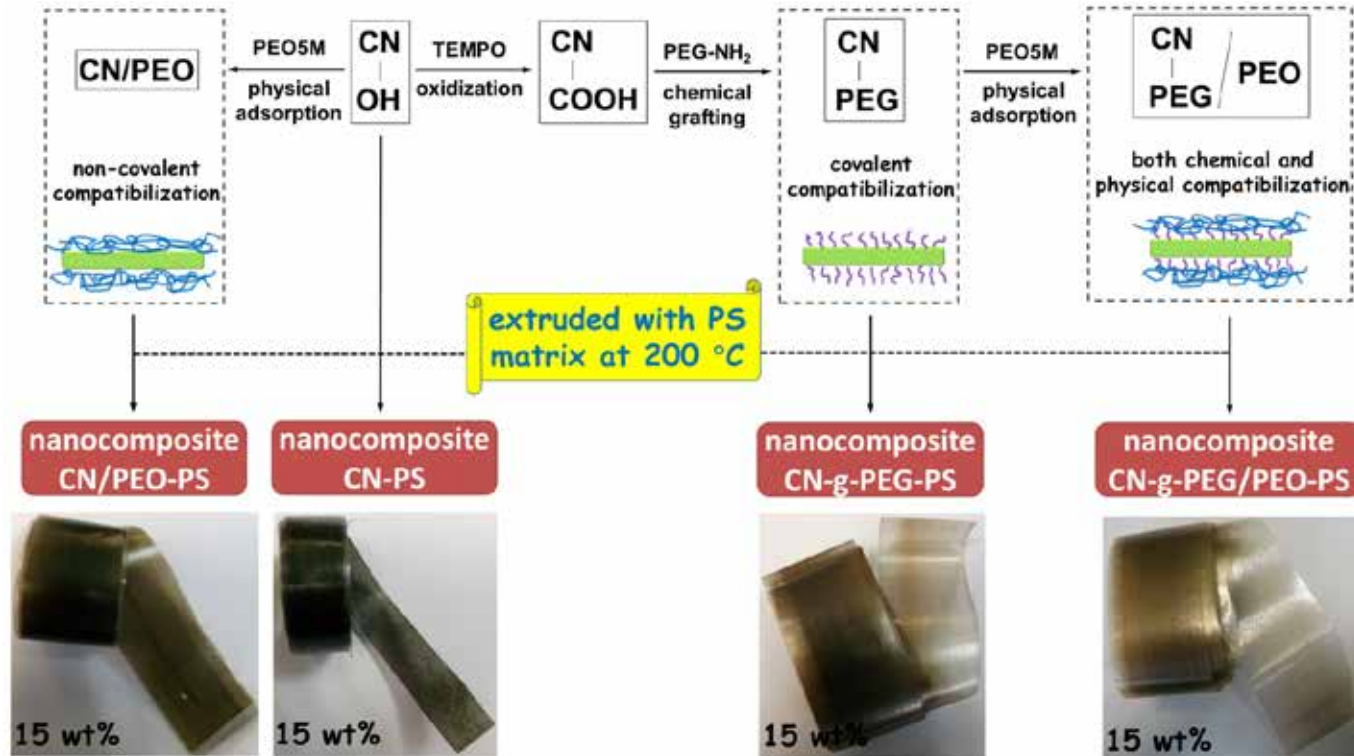
Ben Azouz et al., *ACS Macro Letters*,
2012, 1, 236-240



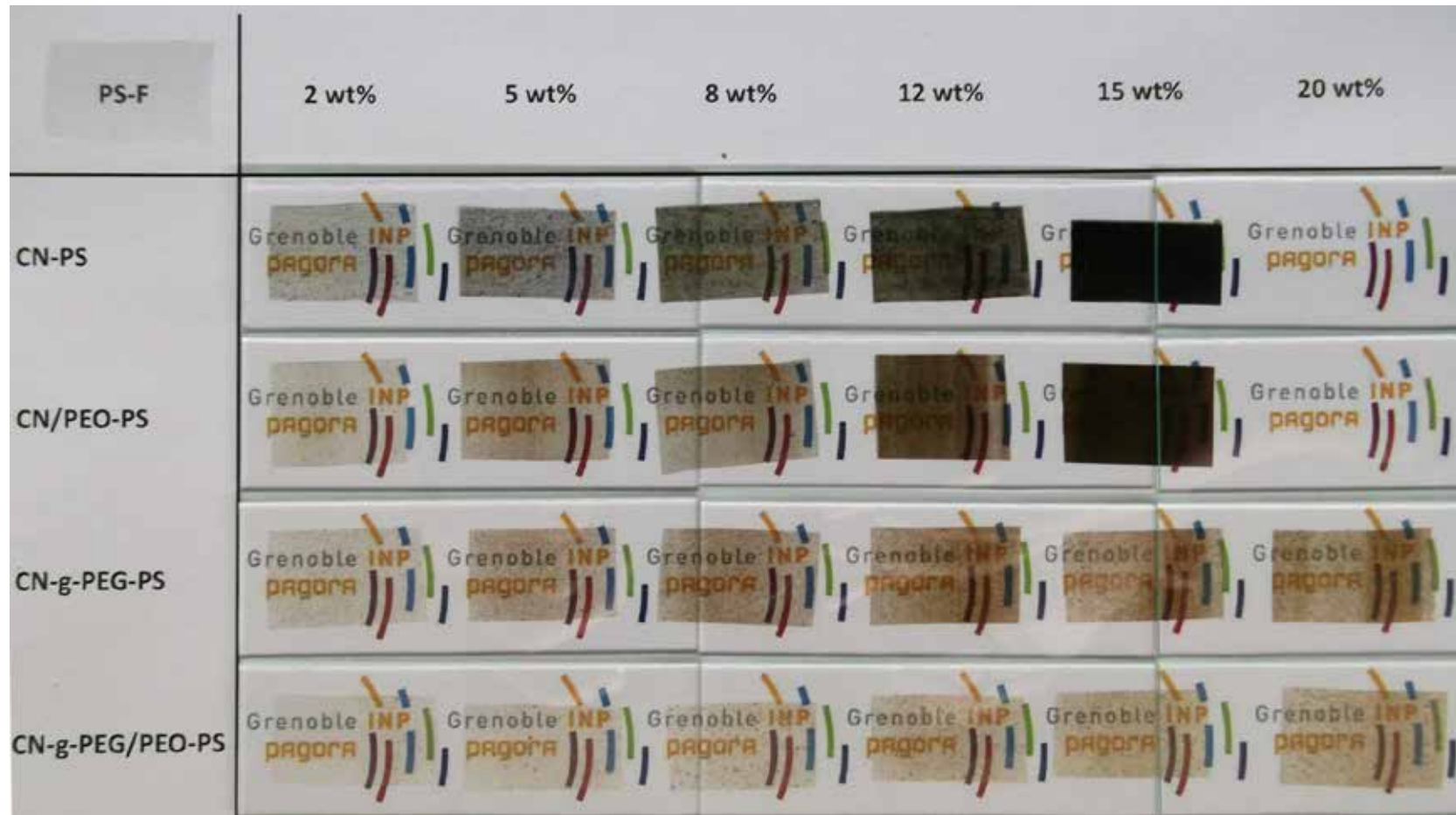
Pereda et al., *submitted*

Dispersion homogène des CNC
Pas de dégradation thermique

Films de PS extrudés



Films de PS extrudés



- Les propriétés des nanocomposites à base de nanocellulose sont fortement dépendantes des conditions de mise en oeuvre
- L'aspect crucial est la possibilité d'établissement d'un réseau percolant de nanoparticules
- Possibilité d'utilisation de procédés industriels
- Certaines stratégies permettent de disperser de manière homogène les nanoparticules dans le polymère fondu
- Les procédés physiques sont plus viables que la modification chimique de surface

Promotion de la dispersion homogène des nanoparticules dans tout milieu en évitant leur agrégation → interactions charge/matrice favorables

Dans le même temps, promotion des interactions charge/charge pour favoriser la formation d'un réseau percolant de nanoparticules

DEFI

Exigences simplement contradictoires

Merci pour votre attention

